

成都工学院图书馆  
基本馆藏

303270

第二屆和平利用原子能国际會議文献

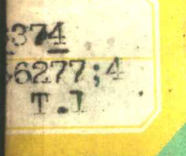
# 同位素在医学及 生物学上的应用

1



中国科学院原子核科学委员会編輯委員會編

科学出版社出版



## 同位素在医学及生物学上的应用 (1)

中国科学院原子核科学委员会编辑委员会编

\*

科学出版社出版 (北京朝阳门大街 117 号)

北京市新亚出版社营业登记证字第 051 号

\*

中国科学院印刷厂印刷 新华书店总经售

1960 年 10 月第一版 书号 : 2239 字数 : 56,000

1960 年 10 月第一次印刷 开本 : 787 × 1092 1/16

(京) 0001—5,000 印张 : 1 7/8 插页 : 3

定价 : 0.34 元

## 目 录

- |        |  |        |
|--------|--|--------|
| P/846  | 蛋白質合成机制的研究.....                          | ( 1 )  |
| P/1389 | 健康及害病植物中磷 ( $P^{32}$ ) 的吸收和轉移 .....      | ( 5 )  |
| P/1391 | 在多基因体系中X 射綫誘发突变.....                     | ( 11 ) |
| P/1392 | 酵母菌成熟分裂时輻射敏感性的变化.....                    | ( 17 ) |
| P/1603 | 3-氨基-和 3-羥基-1,2,4-三氮二烯吡咯在植物內的吸收和轉移 ..... | ( 23 ) |
| P/1844 | 穿透輻射对酵母細胞的作用.....                        | ( 29 ) |

## 蛋白質合成机制的研究<sup>†</sup>

R. B. Loftfield, P. C. Zamecnik, L. L. Hecht, M. L. Stephenson,  
M. B. Hoagland, J. L. Littlefield, E. B. Keller.

自从  $C^{14}$  标記氨基酸得到应用之后，本实验室即从事于蛋白質生物合成的研究。目前我們尽力集中测定活体内聚集成一个蛋白質分子所需要的时间；并确定由自由状态氨基酸到结合成蛋白質状态的过程中所存在的中間体及其本质。我們常常試圖将不含細胞的体外觀察和同一組織在活体内的行为联系起来，以便确定体外系統所賦有的重要生化机能。

我們<sup>[1]</sup>以及其他研究工作者<sup>[2-4]</sup>的早期工作曾經指出过，新蛋白質的直接前身是自由氨基酸，而非原蛋白質 (preexisting proteins) 或高分子多肽的碎片。根据这一論点就有可能测定由自由氨基酸完全地合成一个蛋白質分子所需要的时间。鐵蛋白是一种含鐵蛋白質，当給予超过大白鼠正常需要的鐵时在大白鼠肝中即形成鐵蛋白。当注射含糖氧化鐵后的 10—20 小时之間，用免疫化学的方法能从少至一克的鼠肝中将鐵蛋白分离并結晶出来。我們已經确定，在注射含糖氧化鐵之后的头三十小时内，鐵蛋白的积累是直线上升的。我們也找出在靜脉注射標記亮氨酸或標記纈氨酸之后的不同時間內，測定肝中标記氨基酸比活性的方法。所有动物实验都說明，在含糖氧化鐵刺激之后的 10—25 小時間，鐵蛋白的积集是直线上升的。在初期实验中，我們測量了当注射標記亮氨酸之后 10—80 分鐘間，標記纈氨酸結合到鐵蛋白中去的程度。每隔 10 分鐘新的鐵蛋白分子都从零时即已标記了的“纈氨酸庫” (valine pool) 中得到標記纈氨酸，亦就是說，在 10—80 分鐘之間，結合到鐵蛋白中的量是直线上升的，結合的速率准确地等于鐵蛋白积累的速率。后来，我們又觀察了在更短的時間間隔內，標記纈氨酸結合到鐵蛋白和沉淀蛋白質的速率。結果以图 1 表示。纈氨酸結合到总蛋白質中去是从零时起就是直线上升 (图中以方形符号、短划綫表示)，同时也反映了蛋白質直接前身比活性的恒定性。另外，結合到鐵蛋白中去的 (图中以圓形符号、实线表示)，在开始时較慢，几分鐘之后增高。約五

分钟之后，結合到鐵蛋白中去的速率才等于鐵蛋白的合成速率 (图中以点綫表示)。这个实验很清楚地指出：在注射標記亮氨酸之前部分標記纈氨酸与部分纈氨酸就已結合到蛋白質中去

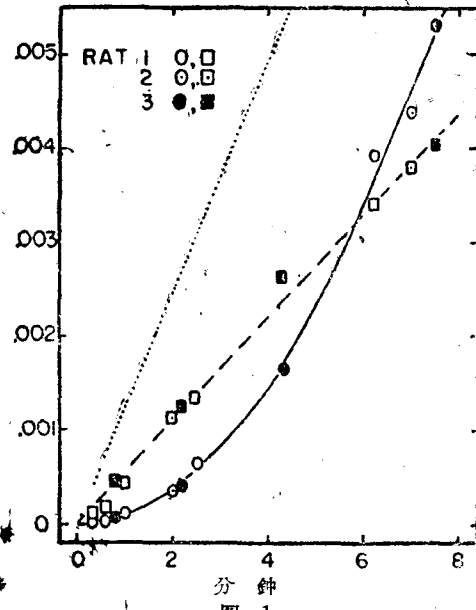


图 1

<sup>†</sup> “第一屆和平利用原子能国际会议文献”編號 A/CONF. 15/P/846, 美国, 原文为英文。

了，而它們結合成新鐵蛋白分子則存在有一个几分鐘的時間間隙。

对于完全标记鐵蛋白形成阻滯的可能解釋，用图 2 表示之。每一条平綫表示一个鐵蛋白的模型，其中  $C^{12}$ -纈氨酸占据的位置用符号“—”表示，“★”表示  $C^{14}$ -纈氨酸；未被占据的位置則用符号“…”表示。每首列表示在每一个聚合阶段中的一个鐵蛋白鏈的形成。在每間隔  $\Delta t$  時間內，每一条鏈上将加上一个  $C^{14}$ -纈氨酸殘基。即合成一个鐵蛋白分子（用方形綫框表示）。在每間隔  $\Delta t$  的任一次時間內，鐵蛋白放射活性的增加，与時間間隔的次数成正比，也就是与

II 纈氨酸的位置

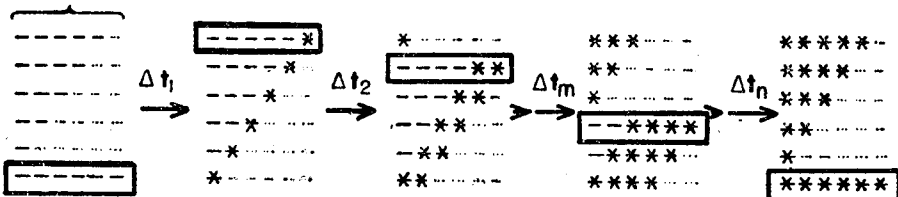


图 2

导入标记氨基酸后的時間成正比。这个反应模型的数学証明：完全合成后的鐵蛋白，其放射活性按照下列方程式：

$$2Tt_s y = t^2$$

其中  $T$  表示刺激鐵蛋白的合成后的時間， $t$  表示注射标记氨基酸以后的时间， $t_s$  表示完全聚合成一个鐵蛋白分子所需要的时间， $y$  对于  $t^2$  的依賴关系不仅是一个异常的动力学关系，同时仅有一个唯一可变的參量  $t_s$ 。所以对于每一个实验觀察到一个  $t_s$  值。图 3 表示在 11 只动物身上进行实验的数据，当  $t_s = 6.5$  分时，和理論曲綫（实綫）一致。唯有用示踪方法方可証实这些动力学的报告，但不是証实图 2 中所述反应模型的正确性。

示踪方法已經成为研究从氨基酸到蛋白質途徑上的中間反應与中間化合物的必要方法。我們的實驗室<sup>[6]</sup>和其他實驗室<sup>[7]</sup>已經确定：氨基酸可以被 ATP 与一个“激活酶”所“激活”而生成腺苷酰胺（amino acyl adenylate）。这些腺苷酰胺所具有的化学反应能力使它們成为蛋白質合成中合理的中間体。Hultin<sup>[8,9]</sup> 曾經指出，与腺苷酰胺性质相似的化合物是标记氨基酸結合到无細胞肝組織匀浆中的一个中間体。用示踪的實驗証明，色氨酸酰腺苷（tryptophanyle adenylate）的生物合成过程中，当  $O^{18}$ -色氨酸与 ATP、色氨酸激活酶及膠胺經過保温之后，在 5-磷酸腺苷（adenylic acid）中可以发现来自色氨酸上的  $O^{18}$ 。

所有这些活化反应都对核糖核酸酶不敏感。几乎所有的情况下，很低浓度的核糖核酸酶就能抑制所有标记氨基酸結合到蛋白質中去。我們发现含有核糖核酸的蛋白質合成反应至少經過两步或更多的步驟，而这些步驟对核糖核酸酶的作用都是敏感的。

在細胞浆中存在分子量相当低的、分散的、并不与細胞顆粒結合的核糖核酸。这些核糖核酸与三磷酸胞嘧啶核苷（cytosine triphosphate）及一个酶起作用，而在末端加上一个胞核苷酸殘基。如果 ATP 同时存在，则胞核苷酸殘基将再与 5-磷酸腺苷的殘基相連。一个胞核苷酸和一个 5-磷酸腺苷的殘基加到每一个分子量大約 20000 的核糖核酸分子上去，在这个体系中其他核苷酸也会加上，但程度却小得多。这些末端的胞核苷酸殘基和 5-磷酸腺苷殘基的加入反应是可逆的，就是說，当同样的、連結着它們的酶存在时，过量的焦磷酸将迫使它們离开，成为相应的三磷酸核苷。

在与胞核苷酸基和5-磷酸腺苷基相连的情况下，这些核糖核酸能够从“激活酶”那里接收“被激活”的氨基酸<sup>[14]</sup>。如果小心地处理这些核糖核酸的话，氨基酸可以保持“激活”状态，并能与羟胺反应、或能结合到蛋白质中去<sup>[15]</sup>。由于几个氨基酸可以结合到核糖核酸上而彼此并不干涉，因此蛋白质通过这种方式聚合的特异性，似乎是可能的。

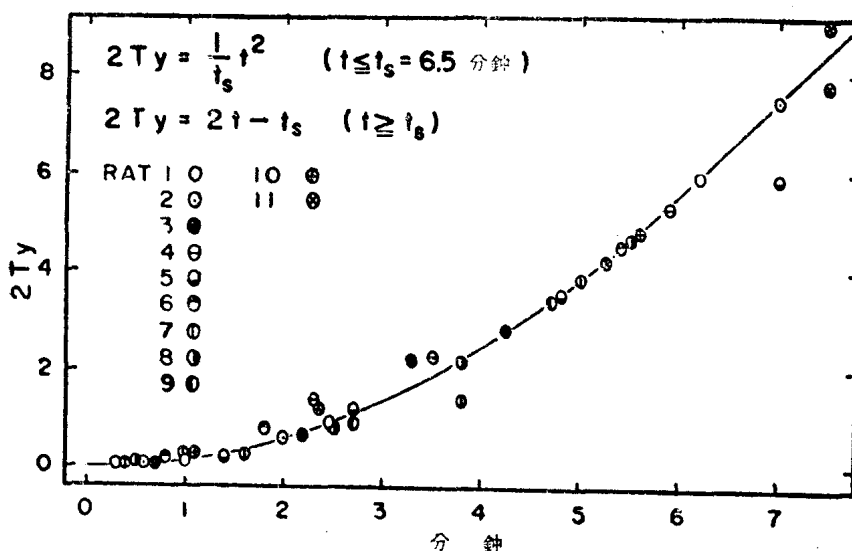


图 3

本实验室以前的工作<sup>[14,15]</sup>已经指出，无论在体外或活体内，在标记氨基酸成为自由的完全蛋白质之前，它们是结合到蛋白质上去，并和细胞浆(微粒体)中的核糖核蛋白微粒结合起来。在体外这个反应依赖于核苷酸即三磷酸鸟苷嘌呤核苷。同样的依赖关系也在体外发现，即“被激活”了的标记氨基酸由细胞浆核糖核酸向核糖核蛋白微粒转移的过程。

跟随着多肽链的聚集之后是蛋白质合成的第四步，这一步知道得很少。副键(如双硫键)的形成、盘绕、团聚(aggregation)等，在“天然”蛋白质产生之前都可能是必须的。我们发现，在活体内，血液供给的障碍就能立刻中断氨基酸的激活作用以及它结合到多肽中去的过程。但是，蛋白质的生成却还会继续几分钟<sup>[5]</sup>。我们相信，这是表明，蛋白质合成的最后一步反应只要求很少的，或甚至不需要能量供给。这个最终的反应在完整细胞内是一个自发的反应。

### 参 考 文 献

- [1] Loftfield, R. B., and Harris, A., J. Biol. Chem., 219: 151 (1956).
- [2] Retman, B., and Spiegelman, S., J. Bacteriol., 63: 419 (1954).
- [3] Halvorson, H. O., and Spiegelman, S., J. Bacteriol., 64: 207 (1952).
- [4] Monod, J., and Cohn, M., Internat. Cong. Microbiol., Sympos. 4 (1953), Rome, Italy.
- [5] Loftfield, R. B., and Eigner, L. A., J. Biol. Chem., in press.
- [6] Hoagland, M. B., Keller, F. B., and Zamecnik, P. C., J. Biol. Chem., 218: 345 (1956).
- [7] DeMoss, J. A., Genuth, S. M., and Novelli, G. D., Proc. Natl. Acad. Sci., 42: 325 (1956).
- [8] Hultin, T., Exp. Cell Res., 11: 222 (1956).
- [9] Hultin, T., and Beskow, G., Exp. Cell Res., 11: 664 (1956).
- [10] Hoagland, M. B., Zamecnik, P. C., Sharon, N., Lipmann, F., Stulberg, M. P., and Boyer, P. D.,

*Biochim. et Biophys. Acta*, 26: 215 (1957).

- [11] Hecht, L. L., Stephenson, M. L., and Zamecnik, P. C., in preparation.
- [12] Hecht, L. L., Stephenson, M. L., and Zamecnik, P. C., *Federation Proc.*, 17 — (1958).
- [13] Hoagland, M. B., Stephenson, M. L.; Scott, J. E., Hecht, L. L., and Zamecnik, P. C., *J. Biol. Chem.*, 231: 241 (1958).
- [14] Littlefield, J. W., Keller, E. B., Gross, J., and Zamecnik, P. C., *J. Biol. Chem.*, 217: 111 (1955).
- [15] Keller, E. B., and Zamecnik, P. C., *J. Biol. Chem.*, 221: 45 (1956).

## 健康及害病植物中磷( $P^{32}$ )的吸收和轉移<sup>†</sup>

巴耳达奇 (E. Baldacci), 貝 托 (E. Betto),  
佛 阿 (R. Foa), 叶耳皮-意大利 (A. Volpi-Italy)<sup>1)</sup>

這是一篇關於用放射性磷( $P^{32}$ )在健康及害病植物中做的研究報告，目的是研究在健康植物中以及在病原與寄主競爭條件下的害病植物中磷的吸收和轉移。

### 1. 在健康植物中通過根的吸收

在第一組試驗中<sup>[1,4]</sup>，我們用煙草 *Nicotiana tabacum* (變種 *Sansum*) 及辣椒 *Capsicum annuum* 培養在存有 Knop 氏溶液的玻璃容器中，每一容器(容積 500 毫升)僅栽培一株植物，每株給以含 30 微居里放射性磷( $P^{32}$ )的  $Na_2HPO_4$ ，所用的植物是有 5—7 片葉子、高度達到 15—20 厘米的植株，讓植株生長在室溫 ( $20—27^\circ C$ ) 中，在自然光照條件下。在用放射性物質處理後的不同時期(從 6—16 天)，按照我們在另一試驗中應用的方法<sup>[3]</sup>來測定放射性。用銳利的軟木穿孔器從葉片切下一小些圓片；不經過另外任何的處理就用蓋革計數器計數。

我們發現同組植物中吸收的程度是不穩定的。因為要壓低個體植株間的變異，就必須使植物生長在嚴格控制的條件下，並且用生長一致的同組植物。結果發現通過根給與的磷在葉子中的分布按照葉在植物上的位置而有量的不同。推測這情況是與葉序(這問題必須經過連續的試驗研究得更徹底)及組織的分生強度有關。我們觀察到頂端年輕的葉子比基部年老的葉子累積的磷多，也觀察到磷的累積量大小根據葉序排列有交替的差異。這些結果指出必須有处在穩定條件下同一相當位置的葉子作比較。

另一組試驗是在 15—20 天的菜豆 *Phaseolus vulgaris* (變種短 *Borlotto, Vigevano*) 上面做的，它培養在存有蛭石的容器中，在人工光照(用螢光管)條件下，保持在  $23^\circ \pm 2^\circ C$  的溫度中。在試驗的過程中，每一植株只保留兩片初生葉，其餘的葉芽全部都去除。 $P^{32}$  是以自由載體正磷酸給與的，每次以 45 毫升的 0.266 微居里/毫升  $P^{32}$  溶液噴洒在蛭石上(每株植物 12 微居里)。對照試驗是用另一組培養在 Knop 营養液中的菜豆做的(每一容器僅栽培一株植物，其中加 450 毫升的溶液)，每株植物的營養液中加 60 微居里的  $P^{32}$  ( $\approx 0.133$  微居里/毫升的溶液)。測定的時候，這兩組植物的每一植株都在稱過鮮重後浸入硝酸中 24 小時，然後取這液体 0.1 毫升做樣品，在紅外燈下乾燥，用蓋革計數器計數。在作一般的本底及衰變的校正後，用每

<sup>†</sup> “第二屆和平利用原子能國際會議文獻編號” A/CONF. 15/P/1389，意大利，原文為英文。

1) 米蘭大學植物病理學研究所

分钟每克鲜重的计数示于表1，表中亦指出了相对于所给磷的吸收百分数。

这材料指出两组植物的吸收率是不同的。我们发现，蛭石中的植物最高吸收量是在最早的时期而营养液中的植物却不断增加磷的吸收。我们也注意到蛭石中的植物吸收较大量的P。

表1 生长在蛭石中及营养液中的植物吸收率的比较

(脉冲数/分/克及每克鲜重吸收磷的%)

测定日期	蛭石中的植物		营养液中的植物	
	脉冲数/分/克	% P	脉冲数/分/克	% P
第 4 天	56,989	3.78	69,191	0.86
第 8 天	56,116	3.72	142,802	1.73
第 11 天	—	—	162,253	2.03
第 15 天	74,447	4.94	196,623	2.46

在第8及第15天达到营养液中吸收的两倍，然而也必须考虑到营养液中 $p^{32}$ 的浓度是蛭石中的一半。

## 2. 磷在健全植物茎上的吸收情形

我们用两种方法研究 $p^{32}$ 在茎上的吸收情形。换句话说，就是用羊毛脂法及注射法。为了把这个试验简单化，对于后者我们采用了熟悉的Roach方法：在靠近注射点的地方，我们装了一只指形瓶，用一根针将一小段棉纱引进植物的茎中，棉纱的末端浸在充满放射性溶液的指形瓶中。用这种方法，磷的吸收很完全而且也很快，在较短的时间，换句话说，只在5—6天内就达到最高吸收量。不过，这方法有些缺点，最主要的是在相等的时间内溶液的吸收量不同，特别是在不同的植物间相差更大。另外，要放置棉纱常在正确的位置上，使之能够碰着同样的维管束，这也是有困难的。在任何情况下，当需要吸收磷很快而不需要比较不同的植物时，这方法是实际的和有用的。

磷与羊毛脂混合施用的试验是在培养于蛭石中的菜豆上面做的；应用第一节中所讲的方法培养。磷溶液（以正磷酸为载体）是混合在羊毛脂中的。它被用在两片叶子的附着点及基部第一个节中间的茎上。也研究了一种具有扩展性的物质，Twen 80的作用。每克羊毛脂中加0.25克的Twen 80进行研究。为了说明给与磷的吸收量，就要在用制备品处理的前后连着容器一起称重，这样测定用掉的制备品重量。从得到的重量（以毫克计）可以计算（在决定每毫克制备品的比放射性后）每株植物的总放射性。所有的测定都象上面讲的那样在浸过硝酸后进行。两片初生叶、茎的非处理部分及每株植物的芽都分别分析，相对结果示于表2。

表2 磷与羊毛脂混合施用于茎上的吸收

(脉冲数/分/克及每克鲜重吸收% P)

植物分析的部位	磷 + 羊毛脂		磷 + 羊毛脂 + Twen 80	
	脉冲数/分/克	% P	脉冲数/分/克	% P
叶	4,274	0.04	17,517	1.87
茎	1,846	0.17	12,138	1.30
芽	12,683	1.20	67,706	7.24
整株植物	3,073	0.29	20,425	2.18

从表上的结果说明，加进Twen 80 显明地有利于磷的吸收。当磷与羊毛脂混合施用时（比

单独用羊毛脂的約高七倍),从植物个别部分看,較大量的运输是向着芽及初生叶的方向而較少的量輸送到处理部位的下方。

### 3. 单独施用或与其他物质混合施用的磷通过叶子的吸收

在另一組的試驗<sup>[6]</sup>中,我們以下列各種磷的混合物施用在菜豆的一片初生叶上进行試驗,用磷;磷+多乙烯乙二醇400+吲哚乙酸;磷+甘油研究磷的吸收及轉移。植物应用第一节中所提出的方法培养,每株植物仅保留两片初生叶。混合物的施用总是以0.5毫升固定量的水溶液喷洒在叶子的上表面,以20微居里/毫升的磷保持在“自由载体”正磷酸中。多乙烯乙二醇及甘油的浓度为1%,吲哚乙酸(IAA)用100--20 p. p. m.的浓度。

每株植物初生第二片叶及莖中的吸收与轉移都分別进行測定。所有的測定都是在混合物給与的第11天进行的。象上面指出的方法,用蓋革計數管測定浸在硝酸中的植物及硝酸溶液的放射性強度。这試驗是連續地进行的,每一結果都示于表3。

表3 磷通过叶子的吸收  
(脉冲数/分/克及每克鮮重轉移的%P)

試驗序號	施用的混合物	脉冲数/分/克	% P
1	磷	20,361	2.15
	磷+乙二醇	29,772	3.14
	磷+乙二醇+IAA 100 p. p. m.	26,899	2.84
2	磷	21,342	1.91
	磷+乙二醇+IAA 20 p. p. m.	31,741	2.85
	磷+乙二醇+IAA 10 p. p. m.	37,979	3.41
3	磷	22,486	1.80
	磷+IAA 10 p. p. m.	23,340	1.86
4	磷	37,815	3.15
	磷+甘油	62,274	5.19

从上表的材料說明吸收11天的时候P<sup>32</sup>轉移的总量,每克鮮重約為給与量的2—3%,在根吸收的試驗中也觀察到与这多少有点接近的数量。我們也觀察了放射性溶液中加进多乙烯乙二醇400或甘油的,在这情形下可能引起P<sup>32</sup>的吸收量增加50%。反之,单独加入吲哚乙酸或与乙二醇混合应用的,并未見到磷的吸收与轉移有明显的增加。

另一組在菜豆上的試驗是培养在营养液中做的,磷是通过叶子給与的。我們發現有一部分磷从根滲出。营养液中酸越多,滲出量越大。在磷給与的14天后,pH 3.5的溶液中含磷量高于pH 6.5的10倍。在任何情况下,分泌的磷占施用总量的极小百分数,至少在我們試驗的植物种类及我們工作的条件下是这样的。

### 4. 在損傷組織中磷的吸收

为了研究磷在損傷組織中的吸收,我們用生长在Knop氏营养液中的烟草做了一系列的試驗,用金刚砂輕擦引起損傷,就象引起实验性的病毒传染一样;以正磷酸为“自由载体”的P<sup>32</sup>在摩擦前的不同時間及当摩擦的时候加进营养液中。供試的植物仅在放射性溶液中放4天,而全部試驗的时间都保持在溫度18±2°C,相对湿度60±5%,用螢光管人工照光的条件下。摩擦仅在叶子的一半施行,使叶子沿着主脉分为两个部分。在損傷发生的第3、6、10及12天,按照已經講过的方法,从處理的叶子切下几个小的圓片,用蓋革計數器測定放射性強度。根据

計數值計算損傷的一半及未損傷一半的比值，指出較大量的磷累積在損傷的部位。比值的變化從 1.3 到 2.7，它們隨着  $P^{32}$  的給與和葉子的磨擦中間經過的時間減少而增加。這意思就是說，就我們所能告訴的，在損傷葉子的恢復過程中需要的磷大部分是由培養液供給的。實際上，我們不得不推斷，在磷的給與及損傷的產生中間經過的時間很短而植物中游離的放射性磷離子却較多。最後，在短時間內向損傷部位方向轉移的量較高，然而；這中間的時間增加時，利用率就較小。

另一組試驗<sup>[5,7]</sup>也証實了磨擦增加磷的需要，我們用菜豆做了自動攝影， $P^{32}$  是在損傷產生前 48 小時給與的。這試驗象普通一樣，在葉子的一半用金剛砂磨擦組織形成損傷；另外的一半，在表皮層與葉肉部分造成一些更深更集中的損傷。自動攝影中（在損傷產生 4 天後）（圖 1）可能觀察到一些累積磷的部位，它符合於金剛砂磨擦的斑點。在較重的損傷部位沒有

累積，因此僅在輕傷部分有磷的需要。顯然，較重的損傷經過另外一種療傷程序。

第三組試驗是在菜豆上面做的。在試驗時期，一組植物保持在相對濕度 60 ± 5% 的環境中，另一組保持在相對濕度 95% 中，都給與磷 48 小時，當  $P^{32}$  紙與的第 2 及第 12 天後兩組植物都造成損傷。產生傷害 3 天後進行自動攝影。保持在一般情況下的相對濕度（在這濕度中，傷害發生在兩天後）中的植物，一般都看到在它的葉子損傷部位有  $P^{32}$  的累積，保持在相對濕度 95% 中的沒有累積，這說明損傷部位磷的需要與葉面蒸騰有關。在給與磷的 12 天後引起損傷的植物，甚至是保存在一般情況下的相對濕度中，也沒有磷的累積。我們的意見，這事實說明，損傷葉子恢復過程中需要的磷絕大部分由培養液供給非由植物供給。

### 5. 在感染病毒的組織中磷的吸收

我們比較了局部感染病害的同一葉片兩半之間的吸收程度（只有一半用病毒感染）。為了進行試驗，我們用馬鈴薯 X 病毒感染蔓陀蘿 *Datura stramonium*。把它培養在營養液中。在

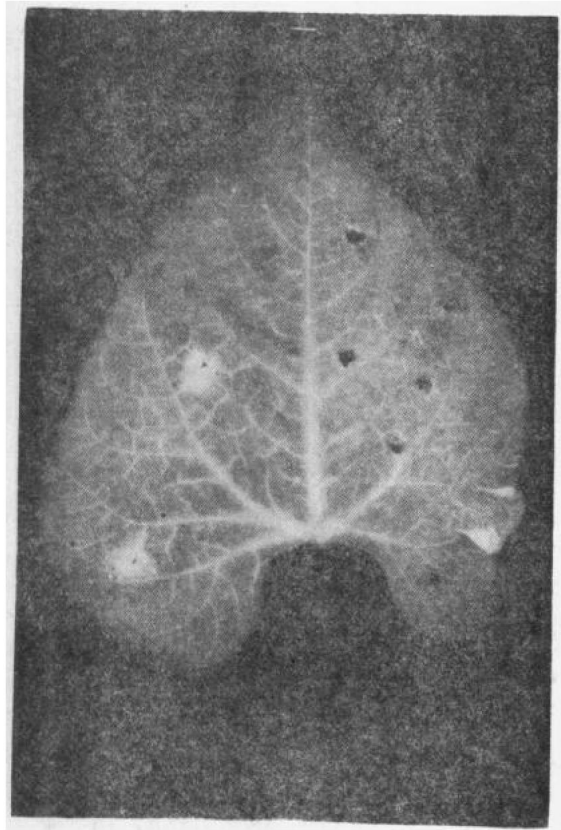


圖 1 一菜豆葉子的自動攝影：右邊：用金剛砂引起的傷害；左邊：用針引起的傷害。

感染的時候加  $P^{32}$  到營養液中。感染的半片葉中累積的比對照的多 4 倍。累積不能完全歸之於病毒的存在，另外的因素亦同時發生作用的。象上面所講的，在這些因素中，損傷引起感染，感染本身帶來恢復的過程及細胞的壞死。當然，要區別損傷、感染、恢復、細胞壞死等因素對病毒累積磷的關係的大小是極困難的。

### 6. 在專性病原菌感染的葉中磷的吸收

在用菜豆單孢銹菌 *Uromyces appendiculatus* 感染菜豆的試驗中，我們研究了當發生最典型的病害時寄主植物與病原菌對磷的競爭。試驗的第一組<sup>[4]</sup>， $P^{32}$  是通過根給與的，每株植物都是在兩片初生葉的一半引起感染時給與的。放射性強度是用蓋革計數器測定的：結果，在

感染的叶子中磷的量比健全的多。在这种情况下，不需要损伤组织来引起感染。随着感染日期到寄生物孢子堆形成孢子中间的时间增加，害病组织与健全组织间磷含量的比值变化从1.12到1.44。在感染的组织中有较大量的磷累积，这可归因于病原菌或者寄主细胞或这两者需要增加。

为了进一步进行试验，我们还是用自动摄影方法做了第二组试验<sup>[7]</sup>。在试验时，感染了整片的叶子。在感染前48小时，用Roach氏方法给予P<sup>32</sup>。自动摄影是在感染后第3天，也就是处理后第5天进行的(图2，A)，磷仅在叶脉中有相当的累积；但然后(感染后第5天)在叶脉间也观察到了有累积的小斑点(图2，B)。它符合于以后将变成过敏性斑点的部位。在过敏性斑点出现前24小时，磷的累积已经很明显。当病害发展时，特别在感染后7天，观察到叶脉中磷的减少(图2，C)。在第20及30天，病原孢子中累积的磷多于已经形成孢子堆的叶组织部分。在第20天，孢子中磷的数量高于叶组织的16倍，第30天时22倍。

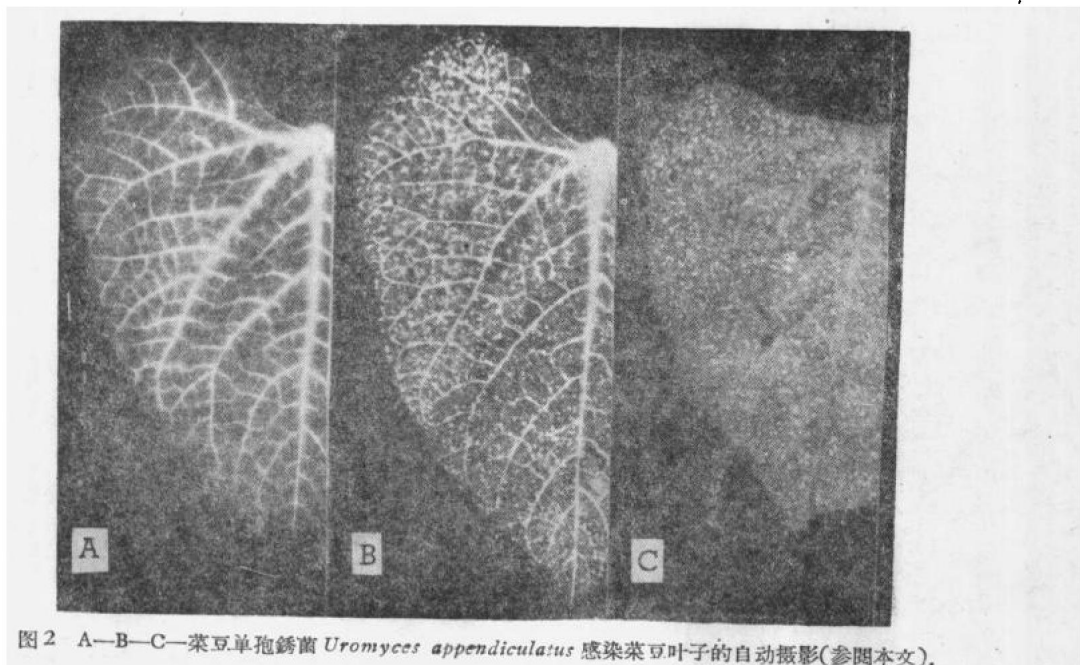


图2 A—B—C—菜豆单孢锈菌 *Uromyces appendiculatus* 感染菜豆叶子的自动摄影(参阅本文)。

在这结果的基础上，我们相信，当病害开始时，叶子被感染部位磷的累积主要是由于寄生物的侵入及吸器的形成，是由于它们引起了叶组织细胞对磷需要的结果。我们想可能是磷从叶脉转移到了被感染的柔软细胞组织部分。因此，当病害发生时，看到在这些地方P<sup>32</sup>含量的改变，在孢子堆形成后一直到孢子成熟时，病原菌总是把磷转移到叶肉细胞中贮藏起来。病害发生时，过敏性斑点累积的磷与金刚砂摩擦引起损伤的情况相同。

## 参 考 文 献

- [ 1 ] Baldacci E., Betto E., Amici A. — Ricerche sull' impiego del P<sup>32</sup> nella fisiologia e patologia dei vegetali. Nota 1<sup>a</sup>. Bollettino Società Italiana Biologia Sperimentale, XXIX, 7: 1357—9, (1953).
- [ 2 ] Baldacci E., Betto E., Amici A. — Il metabolismo del fosforo nei tessuti verdi lesionati studiato con P<sup>32</sup>. Phytopathologische Zeitschrift, 23, 3: 335—40, (1955).
- [ 3 ] Betto E. — Sui metodi di analisi diretta della radioattività da P<sup>32</sup> nei tessuti vegetali. Il Laboratorio Scientifico, III, 6: 173—8, (1955).
- [ 4 ] Baldacci E., Betto E. — L'impiego del P<sup>32</sup> in biologia vegetale, come tracciatore. Difficoltà metodologiche e valutazione dei risultati. La Ricerca Scientifica, 26, 5: 1425—32, (1956).
- [ 5 ] Baldacci E., Betto E., Foa R., Volpi A. — La richiesta di fosforo nei tessuti di piante invase da funghi o da virus, esaminata con l'impiego del P<sup>32</sup>. La Ricerca Scientifica, 27, 9: 2674—6, (1957).
- [ 6 ] Betto E., Foa R., Volpi A. — L'assorbimento e la traslocazione del P<sup>32</sup> su piante di Phaseolus vulgaris in presenza di glicole polietilenico e dell'acido indolacetico. Atti Congresso Scientifico IV<sup>a</sup> Rassegna Internazionale Elettronica Nucleare, Roma, 451—6, (1957).
- [ 7 ] Betto E., Foa R., Volpi A. — La competizione per il fosforo fra Uromyces appendiculatus (Pers.) Link e Phaseolus vulgaris L. studiata con P<sup>32</sup>. Phytopathologische Zeitschrift, 32, 3: 283—92, (1958).

(黃惟讓譯 王鳴岐校)

# 在多基因体系中X射线诱发突变<sup>†</sup>

A. A. Buzzati-Traverso, R. E. Scossiroli

在突变方面，如突变的自发率与诱发率，突变与所用电离辐射的定量关系，和突变有害于物种等的近代看法是全部建立于我們对主要基因的知識。由于突变效应的显著性，因此突变很容易检查出，这事实已經集中了遗传学家的注意力去寻找按照孟德尔图案遗传的相对性状。这在动植物和人都是这样，但从关于定量性状的遗传研究看来，在染色体許多主要基因之間，可能还有为数更多的多基因，它們共同控制着定量性状。这些多基因体系已經表明了它們在决定动植物具有經濟价值的性状中起重要作用。可能，这些多基因体系对性状的控制，如大小、外形等也起着重大作用，这些性状肯定在动植物的进化中也是很重要的。

多基因体系的自发或诱发突变率的近代資料实际上是没有的。人們只能利用基于起源于单元体染色体加倍的原始同質結合子品系中遗传变异数目而得的有限的間接估計的材料。East (1935) 确定在烟草中一定有一个影响計量性状的微小突变的很高的发生率。长期的选择实验也提供了估計多基因突变发生的某些証据。Castle (1951) 提出在老鼠头中性状修飾的基本突变率是 1/7000。鑑于估計属于多基因体系基因数目的困难，如上述的嘗試勢必是不精确的，多基因体系中用电离辐射诱发突变率的材料，除了由 Timofeeff-Ressovsky (1934) 在果蝇中得到的关于誘發成活力突变种 (viability mutants) 可能性的原有材料而外，完全缺乏。目前有关突变过程知識，似乎还在迫切地去积累在多基因体系中自发突变率和诱发突变率問題上的証据的阶段。由于这个原因最近十年來在我們實驗室中已經做了几个實驗以試驗：(1) X射线能否誘發形态上和生理上的多基因突变；(2) 对于多基因体系自发突变种是否自然发生的；(3) 自然选择能否利用誘發“有利”突变种产生“更好的”遗传型；(4) 在羣体中增加突变率能否增加适应特殊环境的速率；(5) 用电离辐射人工选择多基因突变种的誘發可否改变主要的数量性状的平均数，这个数量性状在新誘發的遗传變异性不存在时对选择是不再起反应的。

我們扼要地說明上述几点获得的証据。

## 1. 在果蝇(*Drosophila melanogaster*)的人工羣体中多基因突变的誘發

当果蝇羣体在有效食物和空間的恆定条件下保持許多代，它們充滿了四周环境并达到了很恆定毫沒变化的平衡数。在这个實驗中羣体的密度达到了极端的水平，动物变得十分拥挤，十分強化的自然选择有利于更好适应实验条件的遗传型。这說明了，如果遗传变异性是存在于基本原种之中，被多基因体系控制的性状在如此拥挤的条件下在几十世代內起着可以辨认的改变。这些改变可以包括不孕性、发育的速率、寿命和体重。影响这些多因子性状的多基因频率的改变，是在产生对于羣体來說具有更高适合性的新的平均遗传型的方向上发生的。于是不孕性将消失，生殖力将提高，发育速率加快，寿命增长，体重增加，以及翅的大小将減小。

<sup>†</sup> “第二届和平利用原子能国际會議文献”編號 A/CONF. 15/P/1391，意大利，原文为英文。

假如用最初不具有或具有很微小遗传变异的果蝇来着手相似的实验，那就可以推断，除非有影响上述适应因素的多基因起了突变，因而得到新的遗传性变异，那么在时间进程中上述性状才可能起改变，而达到更高的适应性。按照这样的看法，假如电离辐射产生多基因突变，那

表 I 無剛毛缺失果蠅的百分數

实验开始后的天数	羣体 1 率	羣体 2 率	羣体 3 2000 r	羣体 4 2000 r	羣体 5 4000 r	羣体 6 4000 r
360	0.00	0.00				
363			54.13			
367				2.03		
370					20.57	
374						45.06
433						78.24
437					67.80	
451			68.59			
458		0.00				
474	1.31					
483						99.18
497					83.93	
503				7.98		
509			83.16			
523		0.00				
528	2.01					
552						100.00
591					96.92	
593				9.49		
598		2.93	88.62			
605	7.06					
610	12.91					
615			9.69			
617				90.31		
619					24.91	
620						99.16
626	30.37					99.92
706			34.82			
710				93.44		
718					59.16	
724						95.57
736						100.00
851	80.38	93.18			84.21	100.00
859				94.55		100.00
892	89.86					
902			97.09			
906				92.49		
908					89.13	100.00
943		96.99				100.00
957			98.41			
963				91.34		
972					97.74	100.00
						100.00

么在照射羣体中可測的改变將高于对照的或未經照射的羣体。

这样的實驗在我們實驗室中已經完成了，在每一个实例中都得到了正面的結果，这說明X射線能增加影响果蝇生理和形态性状的遗传变异；以及在實驗条件下，自然选择能积累这些給予个体以更大适应性的遗传变异。所以才能觀察到經處理过的羣体适应的速度是較未經處理的羣体为快。某一些这种實驗的資料以前在別处已經叙述过。表 I 以图表說明这些實驗之一所得結果的类型，在这實驗中所用一种特殊品系是以无刚毛突变种的純質結合子所表記的，这在是成年果蝇身上产生显著縮短的主要刚毛突变种。为了排除其他實驗品系可能污染它的机会，所以把这突变包括在品系中。此外这品系对三个长染色体将是基因純化的。

这个實驗开始了将近 24 代后，羣体的每一代受到 2000 r 或 4000 r 剂量 X 射線處理后，及在 X 射線照射的羣体已經比未經 X 射線照射的羣体达到較好的平均适合度以后，可注意到在經處理过的羣体中个体具有刚毛的长度比本来无刚毛品系长一些，可用一种假設来解釋這事实，那就是 X 射線或者是在无刚毛位置上誘导了回复突变或者是誘发了影响刚毛长度的修飾因子，而誘发突变种比无刚毛突变种具有更高的选择值。

在差不多二年以上、相当于 50 代的时期中，测定在六个羣体中出現的无刚毛缺失果蝇的个体証实了这解释。如在表 I 中所看到的，无刚毛缺失果蝇增加數目的級数所揭示的适应過程，在 X 光照射的条件下比在未用 X 光照射有較快的进行速度。在處理过的羣体中觀察到第一批有刚毛果蝇以后几个月，具有相似表型的果蝇也出現在对照的羣体中，当實驗不再繼續时，六个羣体或者是新产生的性状的个數已經达到 100%，或 90% 以上的果蝇具有改变的表型。

从六个羣体分离出来的有刚毛果蝇的遺傳分析，表明刚毛的延长并不是刚毛缺失位置回复突变的結果，而仅是由于影响刚毛长度的几个修飾因子的效应。統計六个品系間的差异以及六个有刚毛型間的亲交分析，六个羣体的每一个羣体中的不同修飾因子体系已經被選擇出来。由这以及有很相似結果的其它報告(Buzzati-Traverso, 1954)所得出的結論，即在这些實驗中電离輻射确实在多基因体系中誘发突变，以及相类似的过程仅仅是以較緩慢的速度发生在对照的羣体中。

在多基因体系的情况下，电离輻射的效应与对于主要的基因的效应是相似的，也就是使自发突变过程加强。可以被我們所試驗証明的多基因突变，很显然只是那些使羣体中个体增加了合适性的突变，这能确定 X 射線誘发了更多的有害多基因突变种以及它們已通过自然选择過程被清除了。同样的過程以較慢速度发生在未經處理的羣体中。这些材料促進了目的在于測定多基因体系中自发突变率和誘发突变率以及估計这样的遺傳性改变的加倍剂量的当前研究。

## 2. 在人工选择的品系中多基因突变的誘发

动植物育种家的經驗表明了，当在杂交育种方式中着手选择数量性状时，开始时对于选择的反应是很显著的，但是随后漸漸向上达到最后似乎得不到更多进展的平稳状态。現在可以提出問題：如拿一品系，这个品系的某些性状已經經過了好几代的选择。以及这种不能为进一步的选择所改变的性状已达到了平均值，是否可能用电离輻射來誘发新的遺傳變异性突破頂点，使性状的平均数达到一个較高的水平，从而提供选择新性状的条件。

为了回答这問題，在果蝇(*Drosophila melanogaster*)中用伯明翰大学 Kenneth Mather 教授所提供的特殊品系完成了数量性状——硬胸觸毛(sternopleural hairs)的人工选择實驗。从两

个亲缘不同的果蝇品系间杂交得到的第一代，刚毛数的平均值是 18。对较高的刚毛数选择了六代以后，Mather 教授得到的值在 26 左右。虽然继续尝试去改变这个平均数却没有得到更大的进展，已达到了顶点。这个材料似乎很适合于检验在探测硬胸膈刚毛数目的多基因体系中诱发新的遗传突变性的可能性。

应用 16.7% 选择压力选择差异为 1.45 标准偏差的这些性状的象系选择，是在 Mather 教授的品系 (Scosiroil, 1954 a, 1954 b) 所遗传下来四个族系着手的。采用家系选择的方法是因为它提供了较个体选择更高的效率，因为在后一代中应用了人工选择，在随而发生的新一代中对于选择性状，不用人工选择，自然选择亦能发生。

选择消除不孕性和恢复能育性的结果，也能从这样的培育方法而得到。

四个品系中的两个族系每隔二代周期地用 X 射线处理，对处女雌雄蝇每次剂量是 3000 r，而其他二个族系不处理为对照。

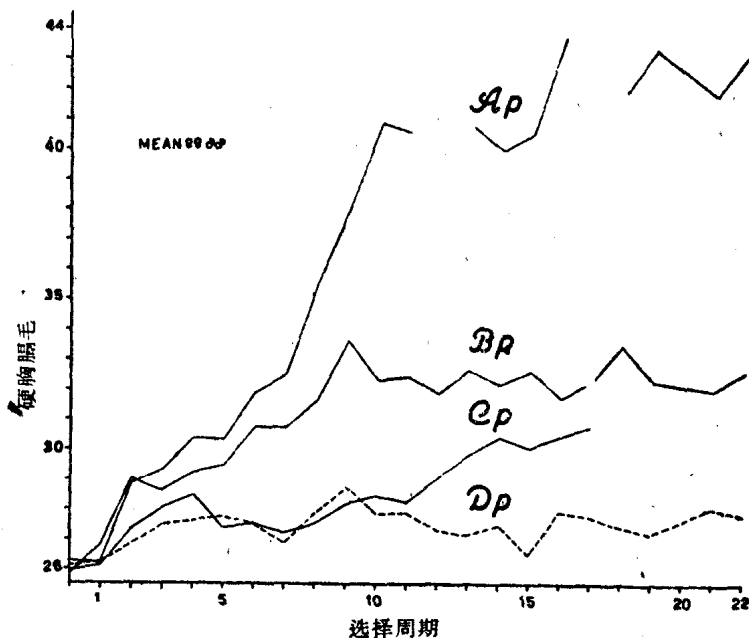


图 1 在二个经 X 射线处理的族系 (Ap 和 Bp) 以及未经 X 光处理的族系 (Cp 和 Dp) 中人工选择高数量的硬胸膈毛的级数

如图 I 所示，对照族系没有发生任何可识别的变化时，经 X 光照射的两个族系对于选择有了明显的反应，遗传分析表明了在 X 光照射的族系中已发生了变异性的显著增加，以及在遗传型和表型上均已显示出来。选择已经利用了新发生变异性成功地突破了顶点和把两个处理过的群体的平均数改变到显著的高度。

在这实例中和以前试验一样，我们的资料可这般解释，假定新变异性是由于诱发了影响选择性状的多基因突变而产生的。除非是在少数世代反应后达到了新的顶点而外，进展不能无限继续的事实可以用这样的事实来解释：进展是伴同不孕性的增加和可育性的减少而获得的，在选择性状的进展与降低合适性中间的平衡似乎是二元体的遗传结构所固有的，或许在 X 光照射过的选择较低刚毛数的其他族系中，缺少反应是由于同样的机制。在 X 光照射过的族系中也发现了遗传变异性的增加。